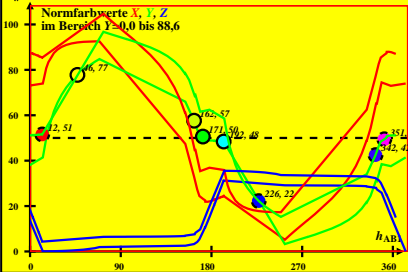
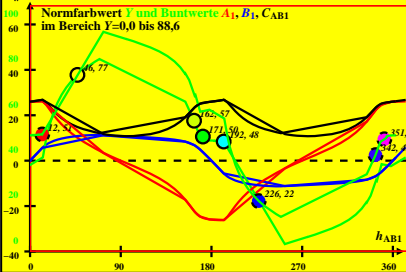


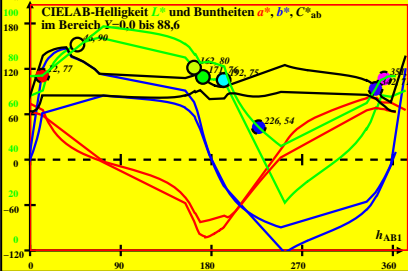
**CIE-A00-Daten von -Ostwald-Farben von maximalem Buntwert  $C_{AB}$**   
 $Y_w=88,6$ ,  $Y_m=520\_770$ ,  $B_m=380\_520$ , 2 Berechnungsmethoden



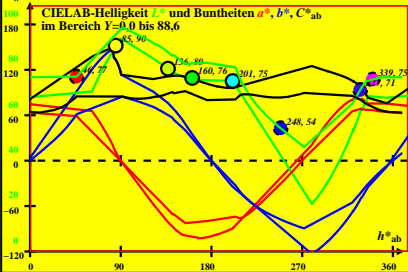
**CIE-A00-Daten von -Ostwald-Farben von maximalem Buntwert  $C_{AB}$**   
 $Y_w=88,6, Y_m=520\_770, B_m=380\_520, 2$  Berechnungsmethoden



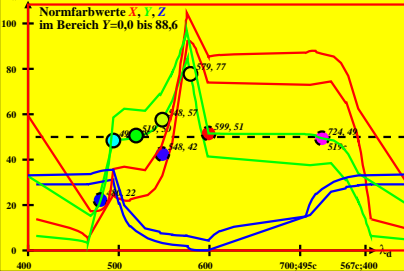
**CIE-A00-Daten von -Ostwald-Farben von maximalem Buntwert  $C_{AB}$**   
 $Y_w=88,6, Y_m=520\_770, B_m=380\_520, 2$  Berechnungsmethoden



**CIE-A00-Daten von -Ostwald-Farben von maximalem Buntwert  $C_{AB}$   
 $Y_w=88,6$ ,  $Y_m=520\_770$ ,  $B_m=380\_520$ , 2 Berechnungsmethoden**

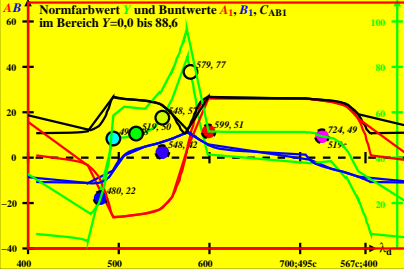


**CIE-A00-Daten von -Ostwald-Farben von maximalem Buntwert  $C_{AB}$**   
 $Y_w=88,6$ ,  $Y_m=520\_770$ ,  $B_m=380\_520$ , 2 Berechnungsmethoden



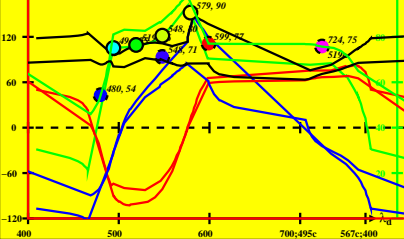
**CIE-A00-Daten von -Ostwald-Farben von maximalem Buntwert  $C_{AB}$**   
 $Y_w=88,6$ ,  $Y_m=520\_770$ ,  $B_m=380\_520$ , 2 Berechnungsmethoden

**AB** Normfarbwert  $Y$  und Buntwerte  $A_1, B_1, C_{AB1}$   
 im Bereich  $Y=0,0$  bis  $88,6$



**CIE-A00-Daten von -Ostwald-Farben von maximalem Buntwert  $C_{AB}$**   
 $Y_w=88,6, Y_m=520\_770, B_m=380\_520, 2$  Berechnungsmethoden

$a^*b^*$  CIELAB-Helligkeiten  $L^*$  und Buntheiten  $a^*, b^*, C^*_{ab}$   
 im Bereich  $Y=0,0$  bis  $88,6$



**CIE-A00-Daten von -Ostwald-Farben von maximalem Buntwert  $C_{AB}$**   
 $Y_w=88,6, Y_m=520\_770, B_m=380\_520, 2$  Berechnungsmethoden

